

Д)ЗНЧ | ЗАБАБАХИНСКИЕ НАУЧНЫЕ ЧТЕНИЯ | 2025

XVII Международная конференция
19–23 мая 2025 г., Снежинск, Россия

ОПРЕДЕЛЕНИЕ КРИТИЧЕСКИХ ПАРАМЕТРОВ ТЕЧЕНИЯ СЖАТИЯ
В КВАЗИСОГЛАСОВАННОМ ПРИБЛИЖЕНИИ В РЕЗУЛЬТАТЕ
ГАЗОДИНАМИЧЕСКОГО ВОЗДЕЙСТВИЯ НЕПРОНИЦАЕМЫМ
ПОРШНЕМ НА ДВУМЕРНУЮ МИШЕНЬ

Е. И. Понькин¹

¹ФГУП «Производственное объединение «Маяк»

Озерск – 2025

Различные мишени для реализации УТС

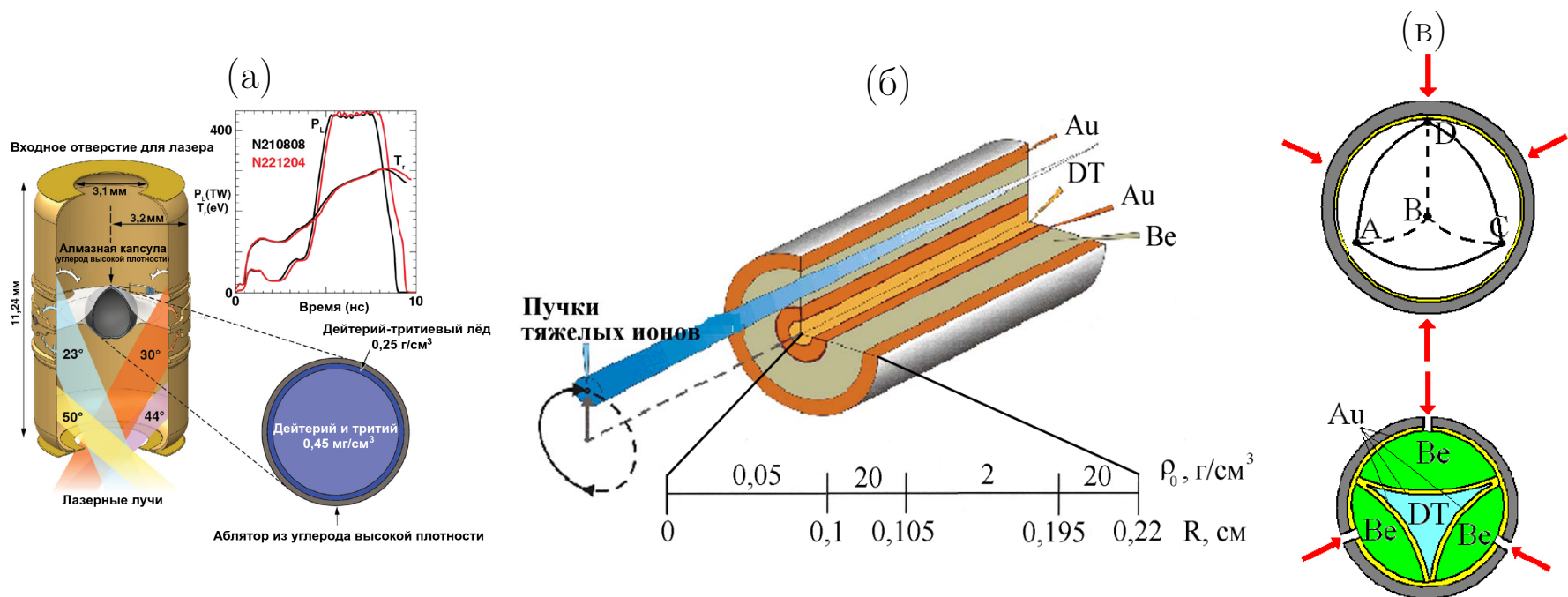
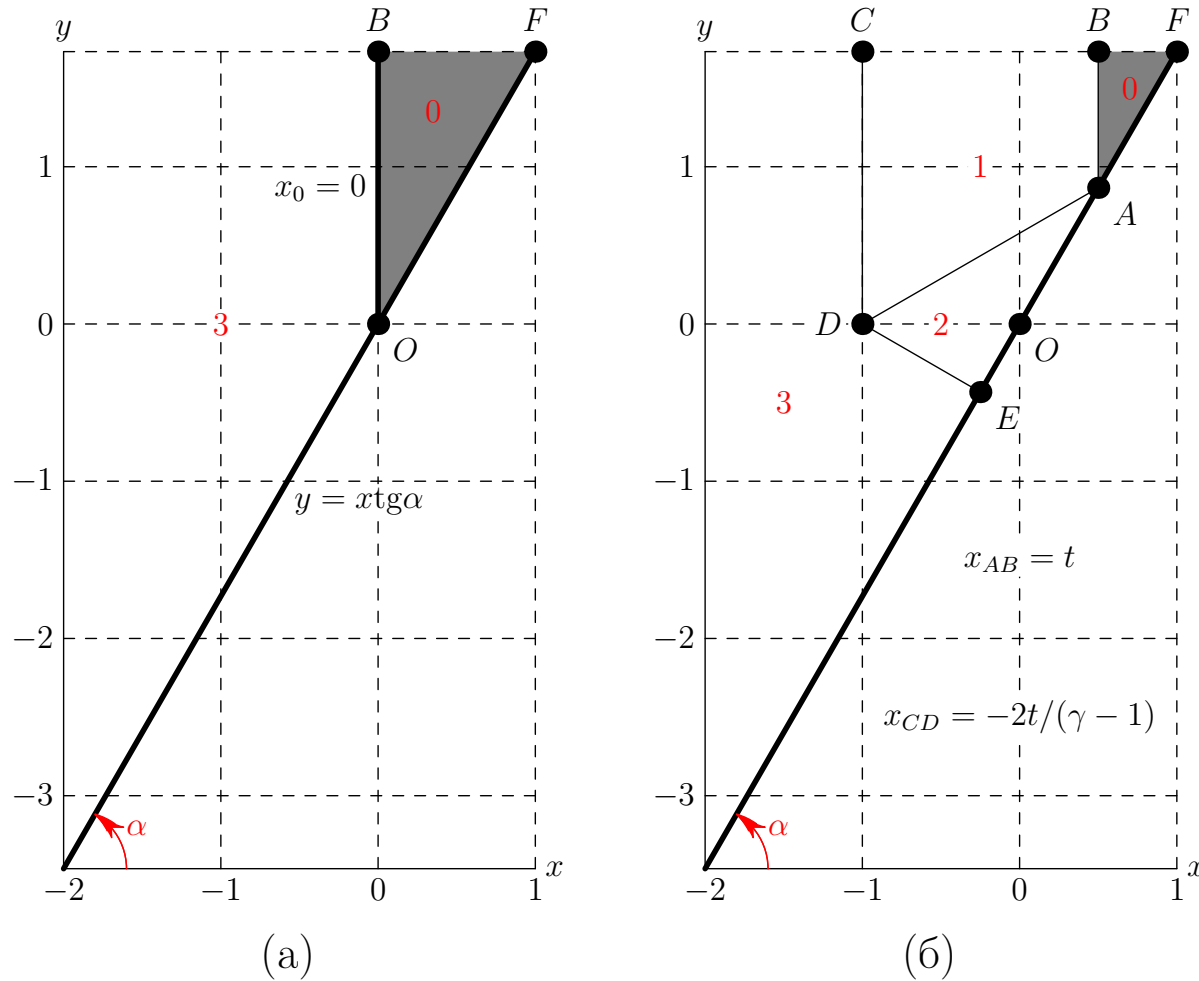


Рисунок 1 – (а) Сферическая мишень и подвес для реализации ЛТС¹. (б) Цилиндрическая мишень для реализации БСС в УТС². (в) 3D Мишень для получения термоядерных реакций³.

¹ Achievement of Target Gain Larger than Unity in an Inertial Fusion Experiment [Text] / H. Abu-Shawareb [et al.] // Physical Review Letters. – 2024. – Feb. – Vol. 132, no. 6. – P. 065102.

²Г. В. Долголева, А. В Забродин. Кумуляция энергии в слоистых системах и реализация безударного сжатия. - М.: ФИЗМАТЛИТ, 2004, 72 с.

³Мишень для получения термоядерных реакций. С. П. Баутин. Патент на изобретение №2432627, 2010.



(а)

(б)

0 – покоящийся газ; 1 – область течения ЦВ; 2 – область течения ДВ; 3 – область вакуума

Рисунок 2 – Конфигурация потока^{1,2} в момент $t = 0$ (а) и $t > 0$ (б)

¹Сучков В. А., Истечение в вакуум на косой стенке [Текст] / В. А. Сучков // ПММ. – 1963. – Т. 27, № 4. – С. 739–740.

²Баутин С. П., Математическое моделирование истечения идеального газа в вакуум [Текст] / С. П. Баутин, С. Л. Дерябин. – Новосибирск : Наука, 2005. – 390 с.

Течение в области двойной волны описывается решением НКЗ

$$\begin{cases} [\mathbf{B} - f'(\xi) \mathbf{A}] \mathbf{U}_\vartheta + \mathbf{A} \mathbf{U}_\xi = 0, \\ \mathbf{U}|_{\vartheta=0} = \mathbf{U}_0, \quad v|_{\vartheta=f(\xi)+\xi \tan \alpha} = u \tan \alpha|_{\vartheta=f(\xi)+\xi \tan \alpha}, \end{cases} \quad (1)$$

в пространстве переменных $\xi = \frac{x}{t}$, $\vartheta = \frac{y}{t} - f(\xi)$ в виде сходящегося ряда по степеням ϑ :

$$\mathbf{U}(\xi, \vartheta) = \sum_{k=0}^{\infty} \mathbf{U}_k(\xi) \frac{\vartheta^k}{k!}, \quad \mathbf{U}_k(\xi) = \left. \frac{\partial^k \mathbf{U}}{\partial \vartheta^k} \right|_{\vartheta=0}, \quad \mathbf{U} = (c, u, v)^T. \quad (2)$$

Первые коэффициенты вектора \mathbf{U} в общем несогласованном случае ($\gamma \neq 3$) задаются выражениями³

$$c_1(\xi) = \frac{2\kappa}{\kappa+1} \frac{c_0^2 + f^2}{c_0 f} M(\xi)^{-1}, \quad u_1(\xi) = \frac{c_1(\xi)}{\kappa} \cdot \frac{c_0 f'}{c_0 f' - f}, \quad v_1(\xi) = -\frac{c_1(\xi)}{\kappa} \cdot \frac{c_0}{c_0 f' - f}, \quad (3)$$

где $M(\xi)$ равно

$$M(\xi) = c_0^{1/\kappa} \left(\frac{\kappa-1}{2\kappa} \tan^2 \alpha + \frac{3}{2 \tan^2 \alpha} + \frac{3}{2} - \kappa + \frac{1}{2\kappa} \right) + \kappa + \frac{1}{2} - \frac{1}{2\kappa} + \frac{\kappa+1}{2\kappa} \frac{f^2}{c_0^2} - \frac{1}{2} \frac{c_0^2}{f^2} - \frac{2\kappa+5}{2} c_0^{1/\kappa} (I(\xi) - I(1)), \quad I(\xi) = \int \frac{dz}{z^2 (\beta + z^{1-\kappa} (\tan^2 \alpha - \beta))}, \quad z = c_0(\xi)^{1/\kappa}. \quad (4)$$

³Ponkin, E. I. Construction of a self-similar solution to the system of gas dynamics equations describing the outflow of polytropic gas into vacuum from an inclined wall in the inconsistent case [Text] / E. I. Ponkin // Journal of Samara State Technical University, Ser. Physical and Mathematical Sciences. – 2023. – Vol. 27, no. 2. – P. 336–356.

Для анализа газодинамических свойств течения разрежения/сжатия в области ДВ рассмотрим квазисогласованное приближение⁴, когда выполняется неравенство

$$\operatorname{tg}^2 \alpha \neq \beta, \quad \beta = \frac{\gamma + 1}{3 - \gamma}, \quad (5)$$

но коэффициенты $c_k(\xi)$, $u_k(\xi)$ и $v_k(\xi)$ ряда (2) при $k \geq 2$ равны нулю. Тогда функции $c(\xi, \vartheta)$, $u(\xi, \vartheta)$ и $v(\xi, \vartheta)$ можно записать в следующем виде

$$c(\xi, \vartheta) = c_0(\xi) + c_1(\xi)\vartheta, \quad u(\xi, \vartheta) = u_0(\xi) + u_1(\xi)\vartheta, \quad v(\xi, \vartheta) = v_1(\xi)\vartheta. \quad (6)$$

Область течения газа типа ДВ в квазисогласованном приближении при его разлете в вакуум на косой стенке ограничена тремя кривыми:

- Косой стенкой AE , задаваемой уравнением $\eta = \xi \operatorname{tg} \alpha$,
- Звуковой характеристикой AD , задаваемой уравнением

$$f(\xi) = \begin{cases} c_0 \sqrt{\beta - c_0^{1/\kappa-1} (\beta - \operatorname{tg}^2 \alpha)}, & \text{если } \operatorname{tg}^2 \alpha < \beta, \\ c_0 \sqrt{\beta + c_0^{1/\kappa-1} (\operatorname{tg}^2 \alpha - \beta)}, & \text{если } \operatorname{tg}^2 \alpha > \beta, \end{cases} \quad (7)$$

- Границей газ–вакуум DE – определяется из решения уравнения

$$c = 0, \quad \eta = f(\xi) - c_0(\xi)/c_1(\xi). \quad (8)$$

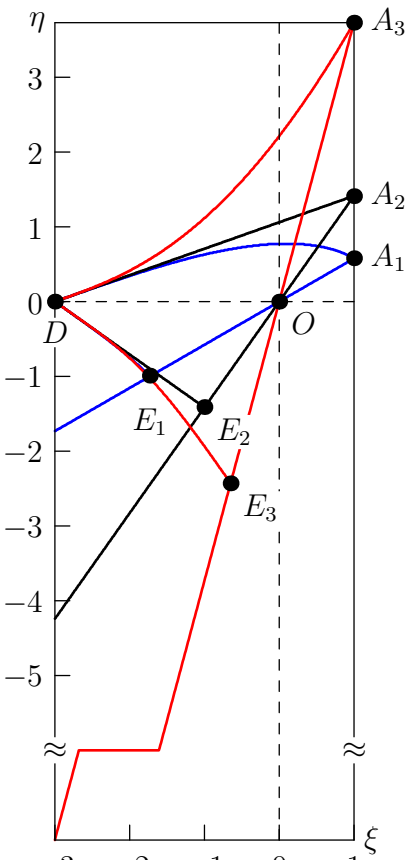
⁴ В квазисогласованном приближении справедливо соотношение между функциями c , u и v

$$c = 1 + \varkappa u + \varkappa \frac{f(\xi)}{c_0} v - \text{криволинейная поверхность в переменных } u, v,$$

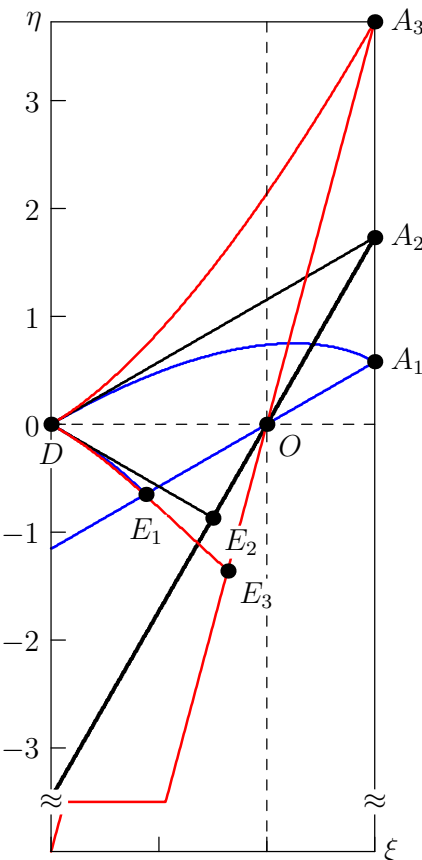
а в согласованном случае

$$c = 1 + \varkappa u + \varkappa \sqrt{\beta} v - \text{плоскость в переменных } u, v.$$

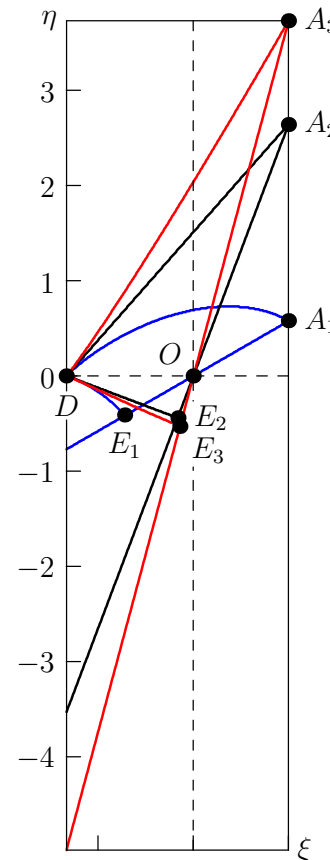
Конфигурация течения в области двойной волны



(а)



(б)



(в)

Рисунок 3 – Конфигурация течения в области ДВ
при $\gamma = 5/3$ (а), $\gamma = 2$ (б), $\gamma = 5/2$ (в) и $\alpha = \pi/6$, α_s , $5\pi/12$

В окрестности точки D обе кривые A_1D , A_3D стремятся к прямой A_2D , через которую стыкуются области течения ЦВ и ДВ в согласованном случае, так как при $c_0 \rightarrow 0$ значение $\beta \gg c_0$, отсюда

$$f(\xi) = c_0(\xi) \sqrt{\beta + c_0(\xi)^{1/\varkappa-1} (\operatorname{tg}^2 \alpha - \beta)} \approx c_0(\xi) \sqrt{\beta}. \quad (9)$$

Граница газ–вакуум DE при $\alpha \neq \alpha_s$ в окрестности точки D также стремится к прямой $DE \perp AE$ в согласованном случае⁵. При $\gamma = 5/3$ и $\alpha = \pi/6$ выражение для $c_1(\xi)$ имеет вид

$$c_1(\xi) = \frac{9 - 5c_0^2}{2\sqrt{3}\sqrt{6 - 5c_0^2}} \cdot \frac{1}{M(\xi)}, \quad (10)$$

где $M(\xi) = 4,75 + 0,2083c_0^2 + 1,875c_0^3 - \frac{3}{12 - 10c_0^2} - 1,6165c_0^3 \ln \frac{0,0455(c_0 + 1,0954)}{1,0954 - c_0}$.

Подставим в (10) выражение (8), получим

$$\eta = f(\xi) \left(1 - \frac{6M(c_0(\xi))}{9 - 5c_0^2(\xi)} \right). \quad (11)$$

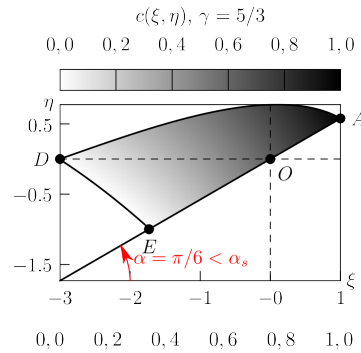
При $c_0 \rightarrow 0$ (окрестность точки D) уравнение (11) принимает вид

$$\eta = f(\xi) \left(1 - \frac{6M(c_0(\xi))}{9 - 5c_0^2(\xi)} \right) \approx c_0 \sqrt{\beta} \left(1 - \frac{1}{\varkappa} \right), \quad (12)$$

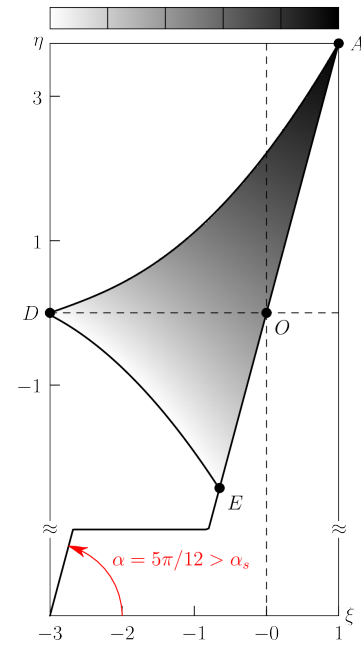
последнее выражение совпадает с уравнением границы газ–вакуум в согласованном случае.

⁵ Сучков, В. А. Двойные волны плоского потенциального течения политропного газа [Текст] / В. А. Сучков // Тр. МИАН СССР. – 1966. – Т. 74. – С. 156–167.

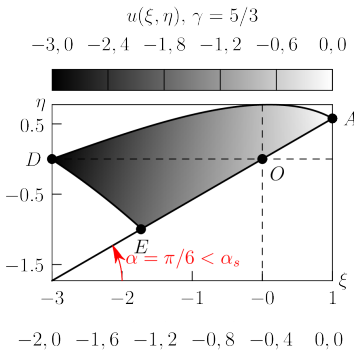
Поверхность функций $c(\xi, \eta)$, $u(\xi, \eta)$, $v(\xi, \eta)$ в области ДВ



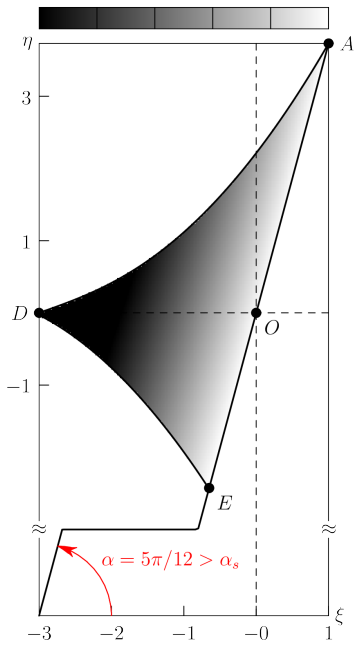
(a)



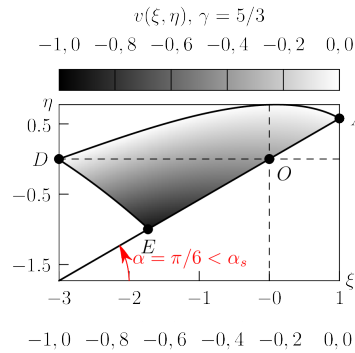
(Г)



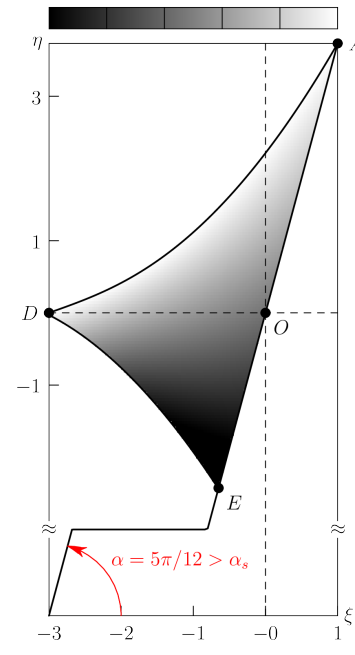
(б)



(д)



(в)



(е)

Рисунок 4 – Поверхность функций $c(\xi, \eta)$ (а, г), $u(\xi, \eta)$ (б, д), $v(\xi, \eta)$ (в, е) в области ДВ в квазисогласованном приближении при разлете водорода в вакуум на косой стенке при $\alpha = \pi/6 < \alpha_s$ и $\alpha = 5\pi/12 > \alpha_s$

Выражение для $c_1(\xi)$ в несогласованном случае

$$c_1(c_0(\xi)) = \frac{2\kappa}{\kappa+1} \frac{c_0^2 + f^2}{c_0 f(c_0(\xi))} \frac{1}{M(c_0(\xi))}. \quad (13)$$

Знаменатель функции $c_1(c_0(\xi))$ при $c_0 = c_0^*$ равен нулю, где c_0^* определяется из следующего условия

$$c_0^* = \min \left\{ \left(\frac{\beta}{\beta - \operatorname{tg}^2 \alpha} \right)^{\frac{\kappa}{1-\kappa}}, \quad M(c_0(\xi)) = 0 \right\}, \quad (14)$$

при выполнении которого в точке c_0^* существует особенность построенного решения⁶. Так как по определению $c_1(\xi) = \frac{\partial c}{\partial \vartheta} \Big|_{\vartheta=0}$, то

$$\lim_{c_0 \rightarrow c_0^*} c_1(\xi) = \lim_{\xi \rightarrow \xi_*} \frac{\partial c}{\partial \vartheta} \Big|_{\vartheta=0} = \infty, \quad (15)$$

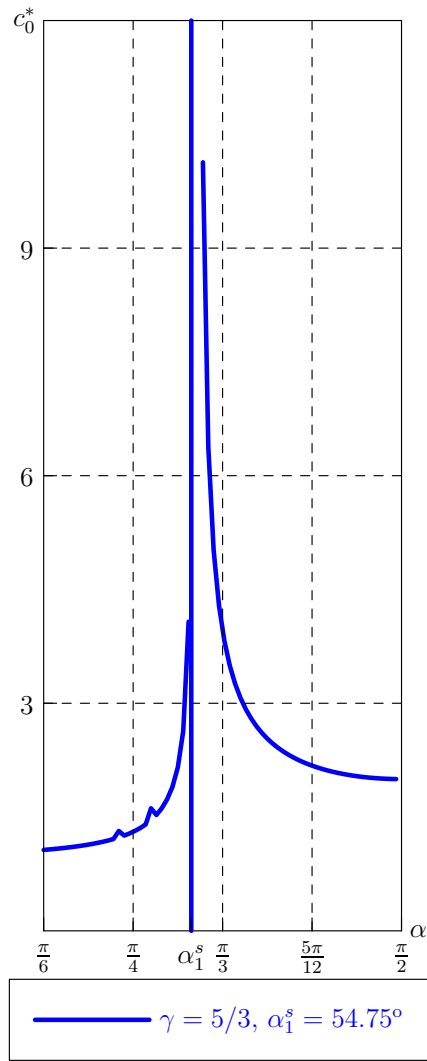
то есть наступает градиентная катастрофа.

⁶ Для случая водорода $M(\xi)$ равно:

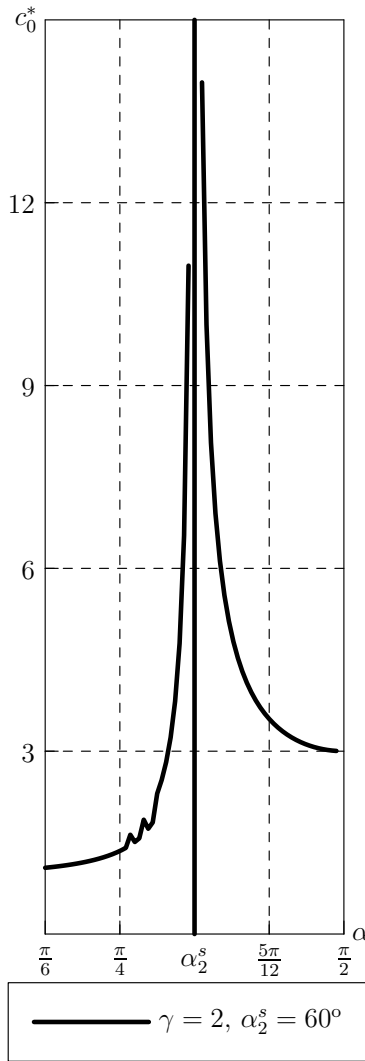
$$\begin{aligned} M(\xi) = & -3c_0^3 + 1,125c_0^3 \operatorname{tg}^2 \alpha + \frac{3c_0^3}{2 \operatorname{tg}^2 \alpha} + 4,25 - \frac{1}{8}c_0^2 (\operatorname{tg}^2 \alpha - 2) - \frac{0,5}{2 + c_0^2 (\operatorname{tg}^2 \alpha - 2)} - \\ & - \frac{17\sqrt{2}}{16} c_0^3 (\operatorname{tg}^2 \alpha - 2)^{3/2} \left(\operatorname{arctg} \frac{c_0}{\sqrt{2/(\operatorname{tg}^2 \alpha - 2)}} - \operatorname{arctg} \sqrt{\frac{1}{2} (\operatorname{tg}^2 \alpha - 2)} \right), \quad \operatorname{tg}^2 \alpha > \beta, \end{aligned}$$

$$\begin{aligned} M(\xi) = & c_0^3 \left(\frac{8}{3} - \operatorname{tg}^2 \alpha + \frac{3}{2 \operatorname{tg}^2 \alpha} \right) - \frac{2}{3} - \frac{1}{2(2 - c_0^2(2 - \operatorname{tg}^2 \alpha))} + 2(2 - c_0^2(2 - \operatorname{tg}^2 \alpha)) + \\ & + \frac{17}{6} c_0^3 \left[\frac{1}{2} \left(\frac{1}{c_0^3} - 1 \right) + \frac{3}{2} \left(\frac{2 - \operatorname{tg}^2 \alpha}{2} \right) \left(\frac{1}{c_0} - 1 \right) - \frac{3}{4} \left(\frac{2 - \operatorname{tg}^2 \alpha}{2} \right)^{3/2} \ln \frac{\left(c_0 + \sqrt{2/(2 - \operatorname{tg}^2 \alpha)} \right) \left(1 - \sqrt{2/(2 - \operatorname{tg}^2 \alpha)} \right)}{\left(c_0 - \sqrt{2/(2 - \operatorname{tg}^2 \alpha)} \right) \left(1 + \sqrt{2/(2 - \operatorname{tg}^2 \alpha)} \right)} \right], \quad \operatorname{tg}^2 \alpha < \beta. \end{aligned} \quad 9$$

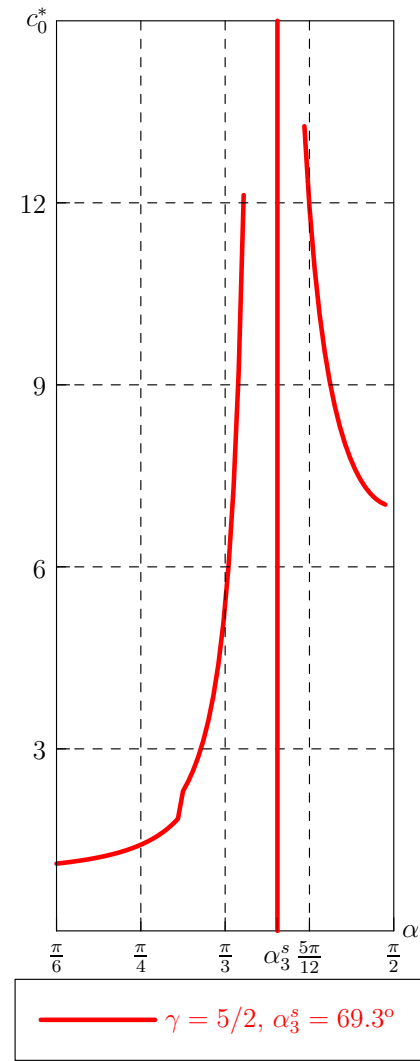
Значение c_0^* в зависимости от значений γ и α



(a)



(b)



(c)

Рисунок 5 – Значение c_0^* в зависимости от значений γ и α

Поверхность функции $c(x, y, t_*)$ в области ДВ

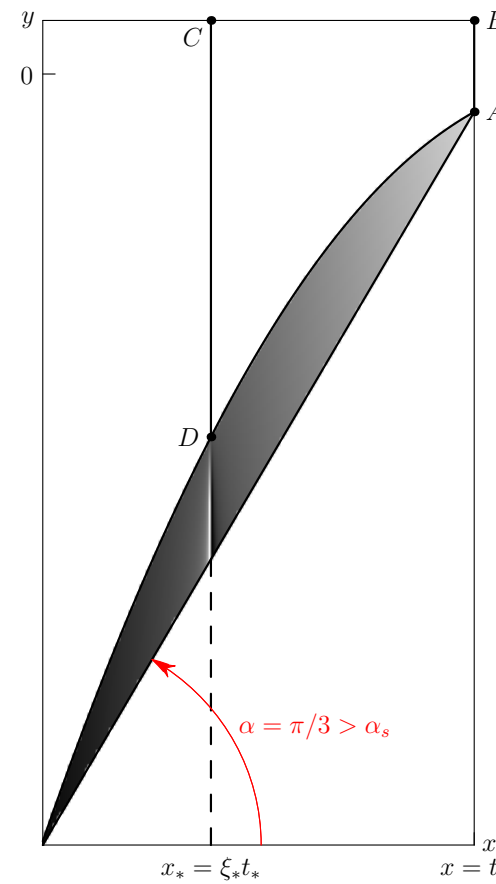
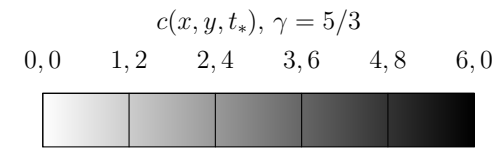
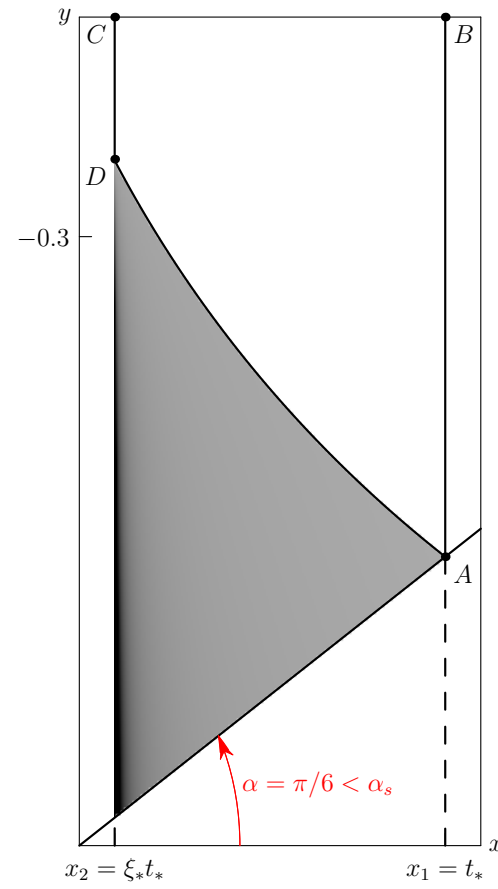
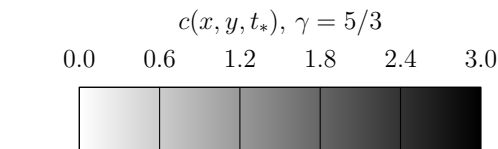


Рисунок 6 – Поверхность функции $c(x, y, t_*)$ в области ДВ в квазисогласованном приближении при $\gamma = 5/3$ и $\alpha = \pi/6 < \alpha_s$ (а), $\alpha = \pi/3 > \alpha_s$ (б)

ВЫВОДЫ

- Рассмотрены свойства течения разрежения и сжатия в области двойной волны, описываемые квазисогласованным приближением решения исходной начально-краевой задачи о разлете газа в вакуум на косой стенке.
- В случае описания разлета газа в вакуум на косой стенке определена конфигурация течения двойной волны и построены поверхности функций $c(\xi, \eta)$, $u(\xi, \eta)$, $v(\xi, \eta)$ в зависимости от значений α , γ .
- При интерпретации решения на сжатие показано, что решение $c_1(\xi)$ содержит особенность, что приводит в течении газа к градиентной катастрофе. В газодинамическом смысле это означает, что при безударном сжатии замкнутого объема в течении до момента коллапса ($t_* = 0$) возникает сильный разрыв (ступенька), что приводит к изменению структуры течения и образованию ударной волны.
- Увеличение количества граней мишени (правильный n -угольник в поперечном сечении) приводит к уменьшению значения угла α , и течение БСС раньше переходит в УВ. Таким образом, когда поверхность мишени стремится к цилиндуру (сфере), режим течения сжатия не зависит от внешнего воздействия и всегда представляет собой сходящуюся УВ.

СПАСИБО ЗА ВНИМАНИЕ!